

Рис. 2. Сопоставление данных петроструктурного анализа и петрофизических исследований по скважине 14 Казанского месторождения

Полученные результаты позволили уточнить условия осадконакопления изучаемых пород пласта Ю<sub>1</sub><sup>1-2</sup> с преобладанием прибрежно-морского режима. Установленные направления предпочтительных ориентировок удлинений зерен кварца, трещин катаклаза и ориентировка порового пространства песчаников показывают хорошую согласованность и могут применяться для учета неоднородности пластов при моделировании месторождения.

#### Литература

1. Шванов В.Н. Петрография осадочных пород. – Л.: Недра, 1969. – 248 с.
2. Грязнова Т.Е. Ориентировка песчинок – методы ее изучения и геологическое значение // Вестник ЛГУ, 1949. – №2. – С. 97 – 105.
3. Краснощекова Л.А. Геологическое строение и условия формирования отложений васюганской свиты (пласт Ю<sub>1</sub><sup>2</sup>) Игольской куполовидной структуры: дисс. канд. геол.-минерал. наук. – Томск, 2006 – 174 с.

### ТРИМЕТИЛАЛКИЛБЕНЗОЛЫ В СОСТАВЕ РАССЕЯННОГО ОРГАНИЧЕСКОГО ВЕЩЕСТВА ПОРОД РАЗРЕЗА АРЧИНСКОЙ ПЛОЩАДИ

Д.Ю. Чиркова

Научные руководители научный сотрудник Н.А. Красноярова<sup>1</sup>,  
старший преподаватель М.А. Гладких<sup>2</sup>

<sup>1</sup>Институт химии нефти СО РАН, г. Томск, Россия

<sup>2</sup>Национальный исследовательский Томский политехнический университет, г. Томск, Россия

Геохимическое изучение территории Томской области, начатое еще в 1954 г. после получения первого непромышленного притока нефти из базальных отложений на Колпашевской площади, до сих пор представляет значительный интерес. Объектом исследования послужили углеводородные флюиды Нюрольской впадины, где в зоне контакта доюрского фундамента и палеозоя исследованы углеводороды (УВ) на Арчинской площади под тогурским флюидоупором (tg/PZ). Изучены 8 образцов рассеянного органического вещества (РОВ) пород тогурской свиты (нижняя юра) и палеозоя, отобранных с Арчинской площади, скв. 54.

Битумоид получен экстракцией хлороформа с 7 % метанолом с последующим разделением методом жидко-адсорбционной хроматографии на колонке с окисью алюминия IV степени активности. В качестве элюента использовали гексан. Детальный анализ молекулярного состава осуществляли с помощью хромато-масс-спектрометра высокого разрешения.

В образцах РОВ пород идентифицированы структурные группы алканов, алкилциклогексанов, стеранов, терпанов, алкилбензолов, ди-, три-, тетра- и пентаароматических углеводородов.

В образцах изученных пород обнаружены никелевые и ванадиловые порфирины, которые свидетельствуют об условиях захоронения ОВ. Рассчитано отношение содержания V/V+Ni, которое увеличивается вниз по разрезу нижней юры от 0 до 1, а для палеозоя от 0,2 до 1. Увеличение отношения показывает уменьшение аэрации в ходе накопления ОВ в морском бассейне при отсутствии сероводородного заражения.

Среди алифатических УВ исследованных РОВ пород преобладают алканы нормального строения. Образцы тогурской свиты характеризуются более высоким относительным содержанием н-алканов 52,2–73,7 % по сравнению с палеозойскими (28,7–43,7 %). Молекулярно-массовые распределения (ММР) н-алканов характеризуется преобладанием C<sub>14</sub>-C<sub>16</sub> гомологов, что говорит о сапропелевом типе ОВ. В зоне контакта нижней юры и палеозоя отмечен более широкий максимум C<sub>15</sub>-C<sub>23</sub>. Существенный вклад морских водорослей в формирование исходного ОВ подтверждается отношением C<sub>27</sub>/C<sub>17</sub> н-алканов, которое во всех образцах РОВ меньше единицы. Коэффициент CPI указывает, что РОВ палеозоя более термически преобразованное, чем тогурской свиты. Отношение четных гомологов н-алканов к нечетным для палеозойских образцов близко к 1, что

свидетельствует о значительной преобразованности ОВ. Следует отметить, что для большинства образцов с уменьшением содержания н-алканов возрастает содержание изо-алканов. Отношение пристана к фитану (Pr/Ph) для нижней юры меняется в диапазоне 1,5–2,4, а для палеозоя – 2,0–3,2.

Содержание алкилциклогексанов и метилалкилциклогексанов соизмеримы и увеличивается вниз по разрезу, изменяясь от 2,07 % до 6,92 %.

Суммарное содержание терпанов в смеси идентифицированных УВ, представленных би- (сесквитерпаны), три-, тетра- и пентациклическими структурами, изменяется в пределах 0,9–3,4 %. Сесквитерпаны включают изомеры нордримана, дримана и гомодримана. Их вклад в содержание терпанов достигает 90 % в кровле тогурской пачки и снижается к подошве до 81 %. А в разрезе палеозоя содержание сесквитерпанов увеличивается с глубиной от 68 до 77 %.

Относительное содержание трициклических терпанов от общего количества терпанов для тогурской свиты в среднем составляет 4 % отн., тогда как для палеозоя 12,7 % отн.

Петациклические терпаны представлены соединениями ряда гопана и гаммацераном. Их доля от общего содержания терпанов достигает 22,8 % в кровле палеозоя. Соотношению S и R изомеров гопанов, используемое для определения зрелости, указывает, что органическое вещество достигло главной зоны нефтеобразования.

Наличие гаммацерана во всех образцах свидетельствует о бассейне седиментации с нормальной соленостью [1]. Отсутствие олеанана в ОВ пород может быть обусловлено древним возрастом отложений (старше мелового), когда появились содержащие олеановые структуры покрытосеменные растения [2].

В смеси идентифицированных УВ суммарное содержание стеранов составляет 0,05...0,22 %. Для палеозойских отложений отмечены максимальные значения содержания стеранов. Отношение стеранов к гопанам указывает на морской генезис органического вещества. Повышение доли диастеранов в юрских породах указывает на морские прибрежные или мелководные условия осадконакопления. По соотношению изомеров изостеранов C<sub>27</sub>, C<sub>28</sub>, C<sub>29</sub> органическое вещество пород разреза отлагалось в морских и прибрежно-морских условиях.

Содержание среди УВ ароматических структур изменяется от 7,7 до 49,2 % отн. Было замечено, что содержание ароматических УВ в составе РОВ пород палеозоя уменьшается вниз по разрезу. В составе аренов преобладают бициклические, а среди них – диметилзамещенные структуры.

Расчитанные по распределению и составу фенантрена (Ф) и изомеров метилфенантрена (МФ) метилфенантеновый индекс MPI = 1,5 (2MP+3MP)/(P+1MP+9MP) и отражательная способность витринита R<sub>c</sub> = 0,6 MPI + 0,4, соответствуют стадиям катагеназа МК1-МК2 (основная фаза нефтеобразования) [3].

Среди АБ были идентифицированы соединения с одним неразветвленным алкильным заместителем (н-АБ) в молекуле, с дополнительной метильной группой в мета-, орта- и пара- положении (МАБ), и триметилалкилбензолы (ТМАБ) с алкильным заместителем изопреноидного строения.

Содержание н-АБ относительно общего содержания алкилбензолов изменяется от 4,9 до 24,3 %, их молекулярно-массовое распределение имеет достаточно схожий вид с отчетливым максимумом в области C<sub>12</sub>-C<sub>15</sub>. Среди изомеров МАБ для всех образцов отмечено преобладание орта-форм, что свидетельствует о морском генезисе ОВ.

Триметилалкилбензолы – арил-изопреноиды с длиной изопреноидной цепи от C<sub>4</sub> до C<sub>12</sub> зафиксированы во всех образцах и имеют наибольший вклад в содержание алкилбензолов. В максимальном количестве среди ТМАБ присутствуют гомологи C<sub>13</sub>-C<sub>15</sub>, содержащие в алкильной цепи 4-6 атомов углерода. Присутствие их в РОВ пород Арчинской площади зафиксировано впервые.

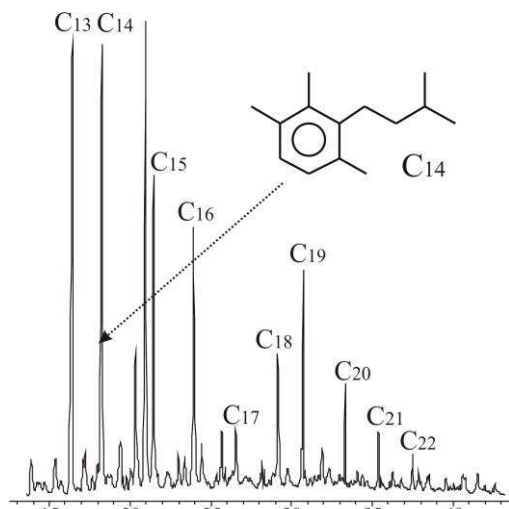


Рис. 1. Масс-фрагментограмма по m/z 133 образца, отобранного из тогурской пачки

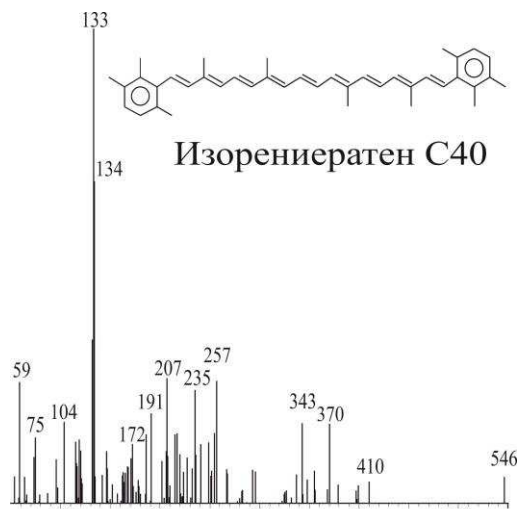


Рис. 2. Спектр соединения зафиксированного в образце, отобранного из тогурской пачки

Низкое содержание гомолога  $C_{17}$  вытекает из строения изопrenoидной боковой цепи биологических предшественников арил-изопrenoидов – ароматических каротиноидов изорениератена и  $\beta$ -изорениератена (рис. 2). Эти изопrenoиды присутствуют в фотосинтетических зеленых серных бактериях (*Chlorobiaceae*), которые существуют в строго анаэробной среде и для их метаболизма требуется свет и  $H_2S$  [4]. Следовательно, наличие арил-изопrenoидов в нефтях обеспечивает свидетельство того, что накопление органического вещества протекало в фотической зоне эвксинного бассейна. Сам изорениератен был зафиксирован на 89 минуте выхода хроматограммы в одном из образцов, отобранных из тогурской пачки, что подтверждает образование арилизопrenoидов путем распада молекулы изорениератена.

Оценить стабильность фотической зоны эвксинного бассейна можно используя индекс AIR, который рассчитывается отношением арилизопrenoидов с алкильной цепью короткой длины  $C_{13-17}$  к арилизопrenoидам с алкильной цепью средней длины  $C_{18-22}$ . Значение арилизопrenoидного индекса свидетельствует о перемешивании толщи воды и нестабильности фотической бескислородной зоны [5]. Отмечена зависимость величины пристана к фитану от индекса AIR, что подтверждает зависимость изопrenoидов ТМА с алкильной цепью разной длины от окислительно-восстановительных условий осадконакопления.

В составе РОВ пород Арчинской площади впервые были обнаружены арилизопrenoиды с длиной изопrenoидной цепи от  $C_4$  до  $C_{12}$ . Исходя из полученных данных о составе n-алканов, стеранов, терпанов, МАБ можно заключить, что исследованное РОВ пород Арчинской площади отлагалось в морских и прибрежно-морских условиях с нормальной соленостью, основные биопродукты морские водоросли. В ходе накопления ОБ была стратификация толщи воды, с присутствием фотической бескислородной зоны и сероводородного заражения, что объясняет наличием арилизопrenoидов в составе ОБ. Индекс AIR говорит о периодическом перемешивании толщи воды и вымывании зоны сероводородного заражения, что позволило накопиться никелиевым порфиринам. По данным о составе n-алканов, стеранов и фенантенов исследованное РОВ пород достигло главной зоны нефтеобразования.

#### Литература

1. Moldowan J.M., Dahl J.E.P., Huizinga B.J., Fago F.J., Hickey L.J., Peakman T.M., Taylor D.W. The molecular fossil record of oleanane and its relation to angiosperms // *Science*, 1994. – V. 265. – P. 768 – 771.
2. Huang W.Y., Meinschein W.G. Sterols as ecological indicators // *Geochimica et cosmochimica acta*, 1979. – V. 43. – № 5. – P. 739 – 745.
3. The Biomarker Guide – Interpreting Molecular Fossils in Petroleum and Ancient Sediments / Peters K.E., J.M. Moldowan. – Hall, Englewood Cliffs, New Jersey Prentice, 1993. – 363 p.
4. Summons R.E., Powell T.G. Identification of aryl isoprenoids in source rocks and crude oils: Biological markers for the green sulfur bacteria // *Geochim. Cosmochim. Acta*. 1987. – V. 51. – P. 557 – 566.
5. Schwark L., Frimmel A. Chemostratigraphy of the Posidonia Black Shale, SW-Germany II. Assessment of extent and persistence of photic-zone anoxia using arylisoprenoid distributions // *Chemical Geology*, 2004. – V. 206. – P. 231 – 248.

### ПЕРСПЕКТИВЫ НЕФТЕГАЗОНОСНОСТИ ПАРБИГСКОЙ ПЛОЩАДИ (ТОМСКАЯ ОБЛАСТЬ)

К.И. Шарун

Научный руководитель доцент Н.М. Неволишко

*Национальный исследовательский Томский политехнический университет, г. Томск, Россия*

В работе изучалось геологическое строение, литологические особенности и перспективы нефтегазоносности Парбигской площади. Площадь расположена на территории Бакчарского района Томской области, в географическом отношении – в юго-восточной части Западно-Сибирской низменности, у истоков реки Парбиг – левого притока р. Оби.

Актуальность исследований связана с перспективами нефтегазоносности доюрских, верхнеюрских, а также меловых комплексов пород (палеозойских отложений, из верхней части доюрских образований, пешковская свита, и пород среднеюрского комплекса изучаемой территории, расположенной в юго-западной части Бакчарского нефтегазоносного района Пайдугинской нефтегазоносной области [1]. При испытаниях скважины Парбигская-1 получены непромышленные притоки нефти из верхней части. По данным И.В. Гончарова и др. [2], нефть относится к тогурскому типу. Начальные извлекаемые ресурсы углеводородов по всем нефтегазоносным комплексам по району составляют 19911 тыс. т при плотности 2–3 тыс. т/км<sup>2</sup> [1].

Несмотря на то, что геологическое изучение Парбигской площади и прилегающих территорий начато еще в 1947-1950 гг., геолого-геофизическая изученность района крайне низкая. Проведенными в ограниченном объеме сейсморазведочными работами методом отраженных волн (МОВ) Парбигская структура по основным отражающим границам разделилась на 3 самостоятельных структурных элемента – Парбигский I, II и III. В 2003–2004 гг. сейсморазведочными работами МОГТ-2Д была подготовлена и паспортизирована Восточная структура.

В геологическом строении разреза площади принимают участие в различной степени доюрские метаморфизированные породы палеозойского фундамента, перекрытые несогласно залегающими терригенными мезозойско-кайнозойскими отложениями платформенного чехла. Юрский комплекс представлен свитами с которыми в основном и связаны нефтегазоносные отложения. В эту группу входят: пешковская, тюменская, наунакская и марьяновская свиты. Вскрытая мощность осадочного чехла 2,5 км.